

## การศึกษาค่า Buildup factor ของรังสีแกมมาในระบบแก้วซิลิเกตที่เลือด้วยบิสมัทออกไซด์ แบเรียมออกไซด์และตะกั่วออกไซด์ ระหว่างช่วงพลังงาน 0.015 ถึง 15 เมกะอิเล็กตรอนโวลต์ โดยใช้โปรแกรม Phy-X

ศุภกิตติ์ ยลพันธ์<sup>1,2</sup>, จักรพงษ์ แก้วขาว<sup>1,2</sup> และ พฤฒิพล ลิ่มกิจเจริญภรณ์<sup>1,2\*</sup>

<sup>1</sup>ภาควิชาฟิสิกส์ คณะวิทยาศาสตร์และเทคโนโลยี มหาวิทยาลัยราชภัฏนครปฐม, นครปฐม

<sup>2</sup>ศูนย์วิจัยแห่งความเป็นเลิศทางแก้วและวัสดุศาสตร์ มหาวิทยาลัยราชภัฏนครปฐม, นครปฐม

\*ผู้รับผิดชอบบทความ: golfpo@hotmail.com

### บทคัดย่อ

งานวิจัยนี้ได้ศึกษาพารามิเตอร์ทางรังสีได้แก่ ค่าสัมประสิทธิ์การลดthonเชิงมวล และค่า Buildup factor ในระบบแก้ว ซิลิเกตเลือด้วยบิสมัทออกไซด์ แบเรียมออกไซด์ และตะกั่วออกไซด์จากสูตร  $20R_mO_n \cdot 80SiO_2$  (เมื่อ  $R_mO_n$  คือ  $Bi_2O_3$ ,  $BaO$  และ  $PbO$ ) โดยคำนวนจากโปรแกรม Phy-X ระหว่างช่วงพลังงาน 0.015 ถึง 15 เมกะอิเล็กตรอนโวลต์ ผลการคำนวนพบว่าค่า สัมประสิทธิ์การลดthonเชิงมวลของบิสมัทออกไซด์มีค่ามากที่สุด รองลงมาคือตะกั่วออกไซด์ และบิสมัทออกไซด์ ในส่วนของค่า buildup factors ค่า EBF และ EABF ของแก้วทั้ง 3 ชนิดมีค่าต่ำ ในช่วงพลังงาน 0.15 ถึง 1 เมกะอิเล็กตรอนโวลต์ และสำหรับ ในช่วงพลังงานมากกว่า 2 เมกะอิเล็กตรอนโวลต์ พบว่าเป็นช่วงพลังงานที่เกิดอันตรกิริยาแบบโฟโตอิเล็กตริก (photoelectric effect) และแพร์เพอร์ดักชัน (pair production) เป็นอันตรกิริยาหลัก ตามลำดับ ในขณะที่ช่วงพลังงาน 0.1 ถึง 2 เมกะอิเล็กตรอน โวลต์ ค่า exposure buildup factors (EBF) และ energy absorption buildup factor (EABF) ของแก้วมีแนวโน้มสูงมากขึ้น เนื่องจากมีการเกิดอันตรกิริยาการกระเจิงแบบคอมป์ตัน (Compton scattering) และผลจากการเปรียบเทียบการเกิดอันตรกิริยา ต่างๆของแก้วทั้ง 3 ชนิด พบว่า แก้วที่มีการเกิดอันตรกิริยามากที่สุดคือแก้วซิลิเกตที่เลือด้วยบิสมัทออกไซด์ รองลงมาคือตะกั่ว ออกไซด์ และต่ำที่สุดคือแบเรียมออกไซด์

**คำสำคัญ:** พารามิเตอร์ทางรังสี, แก้วซิลิเกต, ค่าสัมประสิทธิ์การลดthonเชิงมวล, โปรแกรม Phy-X

# The Study of Buildup Factor in the Silicate Glass System Doped with Bismuth Oxide, Barium Oxide and Lead Oxide in Energy Range from 0.015 to 15 MeV using the Phy-X Program

Supakit Yonphan<sup>1,2</sup>, Jakrapong Kaewkhao<sup>1,2</sup> and Pruittipol Limkitjaroenporn<sup>1,2\*</sup>

<sup>1</sup>Physics program, Faculty of Science and Technology, Nakhon Pathom Rajabhat University,  
Nakhon Pathom 73000, Thailand

<sup>2</sup>Center of Excellence in Glass Technology and Materials Science (CEGM),  
Nakhon Pathom Rajabhat University, Nakhon Pathom, 73000, Thailand

\*corresponding author: golfpo@hotmail.com

## Abstract

In this research, the mass attenuation coefficients and buildup factor had been investigated in the silicate glass system doped with bismuth oxide barium oxide and lead oxide in compositions of  $20R_mO_n: 80SiO_2$  (where  $R_mO_n$  are  $Bi_2O_3$ ,  $BaO$ , and  $PbO$ ) were computed by the Phy-X program in the energy range 0.015 to 15 MeV. From calculated results, the mass attenuation coefficients value of glasses doped with bismuth oxide was higher than barium oxide and lead oxide. The buildup factor of all glasses shows the low value of EBF and EABF at the energy range 0.15 to 1 MeV and beyond 2 MeV, was found that the photoelectric effect and pair production is a major interaction. While, the EBF and EABF values were higher at energy range 0.1 to 2 MeV, due to the Compton scattering effect is a major interaction. As a result of comparing the interaction of the three types of glass, it was found that the glass with the most interaction was bismuth oxide-doped silicate glass. Followed by the lead oxide, and the lowest is barium oxide.

**Keywords:** radiation parameters, silicate glass, mass attenuation coefficients, the Phy-X Program

## 1. บทนำ

วัสดุแก้วเป็นวัสดุที่มีคุณสมบัติที่เหมาะสมสำหรับใช้ในงานบางประเภทเนื่องจากมีคุณสมบัติที่โปร่งแสง ดังนั้นจึงถูกเลือกนำมาใช้สำหรับเป็นวัสดุในการกำบังรังสีในงานด้านต่างๆ เช่น คลินิกทันตกรรม ห้องปฏิบัติการรังสี หรือแม้กระทั่ง ในโรงพยาบาล นิวเคลียร์ ซึ่งได้รับความสนใจมากจากนักวิจัย (Esra Kavaz et al., 2018) ในการกำบังรังสีจำเป็นต้องให้รังสีนั้นเกิดอันตรายร้ายกับวัสดุนั้นให้ได้มากที่สุด ดังนั้นจึงจำเป็นต้องศึกษาเกี่ยวกับอันตรายร้ายของรังสีกับสารต่างๆ เพื่อเพิ่มความสามารถในการกำบังรังสี (N. Singh et al., 2006)

การศึกษาค่า Buildup factor เป็นค่าที่แสดงถึงอัตราส่วนระหว่างรังสีทั้งหมดที่เข้าสู่หัวัดซึ่งเป็นปริมาณรังสีจริงที่ใช้ในการประยุกต์วัสดุกำบังรังสีในด้านต่างๆ กับรังสีที่เป็นลำรังสีซึ่งเกิดจากการ collimate เข้าสู่หัวัดรังสีซึ่งเป็นค่าที่ได้จากการทดลองในห้องปฏิบัติการ (K. Singh et al., 2013) โดยค่า buildup factor มี 2 ชนิด คือ energy absorption buildup factor (EABF) และ exposure buildup factor (EBF) โดย EABF คือค่า buildup factor ที่เกิดจากการสูญเสียพลังงานของรังสีในเนื้อของวัสดุ และ EBF เป็นค่า buildup factor ในอุตสาหกรรมจากการถูกกำบังด้วยวัสดุกำบังรังสี (Esra Kavaz et al., 2018)

งานวิจัยนี้ได้มีการศึกษาแก้วจากสูตร  $20R_mO_n : 80SiO_2$  (เมื่อ  $R_mO_n$  คือ  $Bi_2O_3$ ,  $BaO$ , และ  $PbO$ ) โดยคำนวณจากโปรแกรม Phy-X ซึ่งเป็นซอฟต์แวร์ที่สามารถคำนวณสมบัติการกำบังรังสีของธาตุ สารประกอบ หรือสารผสมฯ ได้ (Y. Al-Hadeethi, et al, 2020) ค่า Buildup factor ของแก้วตัวอย่างได้ถูกศึกษาในระหว่างช่วงพลังงาน 0.015 ถึง 15 เมกะอิเล็กตรอนโวลต์ ผลที่ได้สามารถนำไปประยุกต์ใช้สำหรับวัสดุในการกำบังรังสีต่อไป

## 2. ทฤษฎี

### 2.1 ค่าสัมประสิทธิ์การลดthonเชิงมวล

ค่าสัมประสิทธิ์การลดthonเชิงมวลของธาตุ สารประกอบ หรือสารผสมสามารถหาได้โดยใช้โปรแกรม Phy-X ช่วยในการคำนวณ โดยสามารถคำนวณได้จากสมการ (Kirdsiri et al., 2012; Limkitjaroenporn et al., 2012)

$$\mu_m = \sum W_i (\mu_m)_i \quad (1)$$

เมื่อ  $W_i$  คือ อัตราส่วนโดยน้ำหนักของธาตุหรือสารประกอบ และ  $(\mu_m)_i$  คือ ค่าสัมประสิทธิ์การลดthonเชิงมวลของธาตุแต่ละชนิด

### 2.2 ทฤษฎี Buildup Factor

การดูดกลืนรังสีของวัสดุมีปรากฏการณ์หลักคือ โฟโตอิเล็กทริก (photoelectric) การกระเจิงคอมปตัน (Compton scattering) และ แพร์พาร์ดักชัน (pair production) ซึ่งส่งผลทำให้รังสีลดลงเมื่อผ่านเข้าไปในเนื้อของวัสดุหรือสาร เมื่อรังสีเคลื่อนที่ผ่านไปยังเนื้อของสาร รังสีจะสามารถเคลื่อนผ่านได้หลายลักษณะ คือ พุ่งผ่านไปยังเนื้อของสารแล้วเข้าสู่หัวัดรังสีซึ่งทิ้งรอยโดยตรง หรือรังสีอาจจะเกิดการกระเจิงจากสภาพแวดล้อมภายนอก ซึ่งส่งผลให้ค่าทางการทดลองนั้นมีความคลาดเคลื่อน จึงจำเป็นต้องใช้ค่า Buildup Factor ซึ่งช่วยแก้ไขข้อผิดพลาดได้

โดยเริ่มจากการคำนวณหาค่า equivalent atomic number ( $Z_{eq}$ ) ซึ่งเป็นค่าที่อธิบายถึงอัตราส่วนของการกระเจิงคอมปตันเทียบกับค่าสัมประสิทธิ์การลดthonเชิงมวลโดยสามารถคำนวณได้จากสมการ

$$Z_{eq} = \frac{Z_1(\log R_2 - \log R) + Z_2(\log R - \log R_1)}{\log R_2 - \log R_1} \quad (2)$$

เมื่อ  $Z_1$  และ  $Z_2$  คือ จำนวนอะตอมของธาตุ ซึ่งสอดคล้องกับอัตราส่วนของ  $R_1$  และ  $R_2$  ตามลำดับ และ  $R$  คือ ค่าสัมประสิทธิ์การลดthonเชิงมวลของการกระเจิงคอมปตันต่อค่าสัมประสิทธิ์การลดthonเชิงมวลทั้งหมด (M.I. Sayyed et al., 2017) และค่า  $Z_{eq}$  ถูกนำมาคำนวณโดยใช้วิธี G-P fitting parameter ในช่วงพลังงาน 0.015 ถึง 15 เมกะอิเล็กตรอนโวลต์ ดังสมการ

$$P = \frac{P_1(\log Z_2 - \log Z_{eq}) + P_2(\log Z_{eq} - \log Z_1)}{\log Z_2 - \log Z_1} \quad (3)$$

นอกจากนี้จะหาค่า EBF และ EAEF ได้โดยใช้พารามิเตอร์ (b, c, a, Xk, and d) ซึ่งได้จากโปรแกรม Phy-X (Erdem Şakar et al., 2020)

$$B(E, x) = 1 + \frac{(b-1)}{(K-1)}(K^x - 1), K \neq 1 \quad (4)$$

$$B(E, x) = 1 + (b-1)x, K = 1 \quad (5)$$

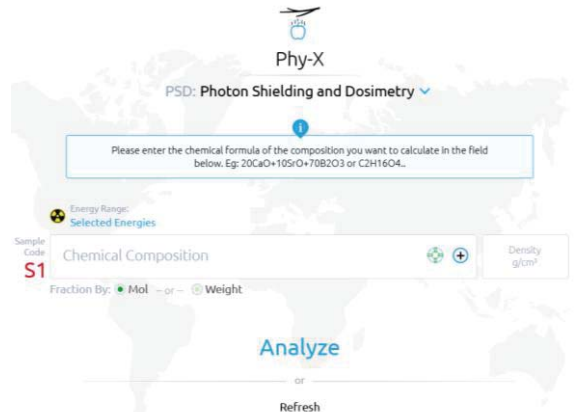
$$K(E, x) = cx^a + d \frac{\tanh(\frac{x}{x_k}) - \tanh(-2)}{1 - \tanh(-2)}, x \leq 40mfp \quad (6)$$

โปรแกรม phy-x เป็นซอฟต์แวร์ที่สามารถคำนวณสมบัติการกำบังรังสีของธาตุ สารประกอบ หรือสารผสมต่างๆ โดยมีวิธีการใช้งานดังนี้

ขั้นตอนแรก เข้าไปที่เว็บไซต์ <https://phy-x.net/> เพื่อเริ่มการใช้งาน จากนั้นนำสูตรทางเคมีของแก้วที่ต้องการวิเคราะห์กรอกลงในช่อง Chemical Composition

จากนั้น กดที่ปุ่ม Analyze เพื่อเป็นการเริ่มกระบวนการวิเคราะห์ข้อมูลของตัวโปรแกรม

เมื่อโปรแกรมสิ้นสุดการวิเคราะห์ข้อมูล โปรแกรมจะทำการนำเสนอข้อมูลออกมาในรูปของไฟล์ excel และสามารถนำผลที่ได้มาสรุปและใช้สำหรับงานวิจัยในขั้นต่อไป

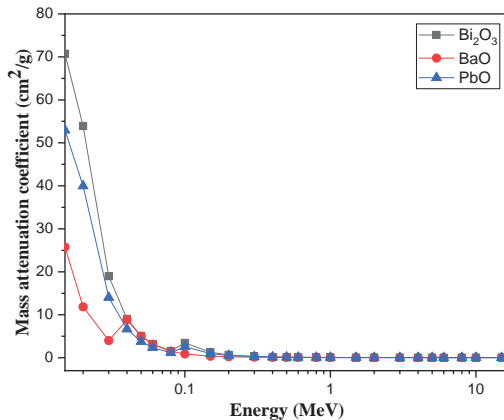


รูปภาพที่ 1 โปรแกรม Phy-x (Y. Al-Hadeethi, et al, 2020)

### 3. ผลการวิจัย

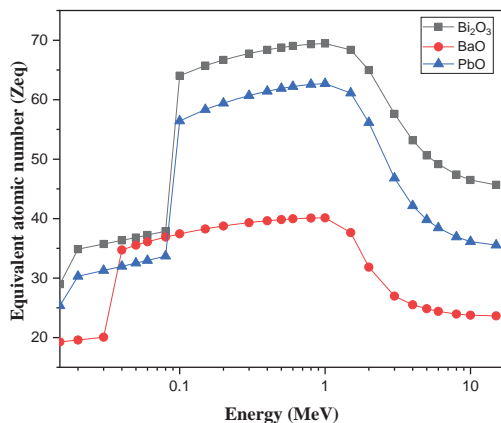
จากการศึกษาพารามิเตอร์ทางรังสีในระบบแก้วชิลิกे�ตเจือด้วยบิสมัทออกไซด์ แบบเรียบมอคไชด์และตะกั่วออกไชด์จากสูตร  $20R_mO_n: 80SiO_2$  (เมื่อ  $R_mO_n$  คือ  $Bi_2O_3$ ,  $BaO$ , และ  $PbO$ ) โดยการคำนวณจากโปรแกรม Phy-X ระหว่างช่วงพลังงาน 0.015 ถึง 15 เมกะวิล็อกโตรอนิวตัน

ในรูปภาพที่ 2 แสดงการเปรียบค่าสัมประสิทธิ์การลดthonเชิงมวลระหว่างบิสมัทออกไชด์ แบบเรียบมอคไชด์และตะกั่วออกไชด์ ซึ่งสามารถบอกถึงความน่าจะเป็นของโอกาสการเกิดอันตรกิริยานิรัสตุ พบร่วมค่าสัมประสิทธิ์การลดthonเชิงมวลของแก้วที่เดิมบิสมัทออกไชด์จะมีค่ามากที่สุด รองลงมาคือ ตะกั่วออกไชด์ และแบบเรียบมอคไชด์ ตามลำดับ ซึ่งเกิดจากมวลโนเลกูลของบิสมัทออกไชด์มีค่ามากที่สุด เมื่อเทียบในระบบแก้วชิลิกे�ตซึ่งส่งผลให้มีโอกาสที่จะเกิดอันตรกิริยามากที่สุดและทำให้แก้วตัวอย่างมีคุณสมบัติการป้องกันรังสีที่สูงมากขึ้นด้วย



รูปภาพที่ 2 ค่าสัมประสิทธิ์การลดthonเชิงมวลของแก้วชิลิเกตที่เจือด้วยบิสมัทออกไซด์ แบบเรียมออกไซด์และตะกั่วออกไซด์

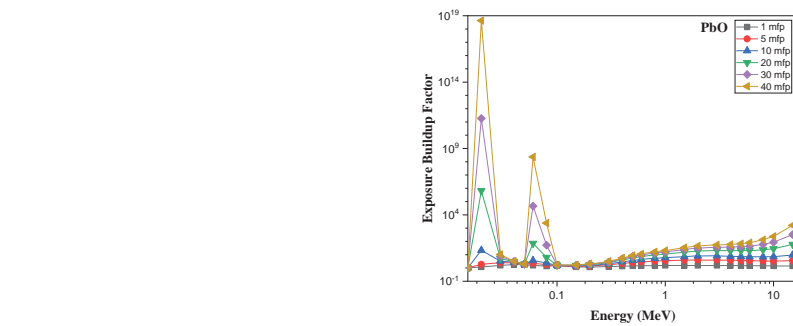
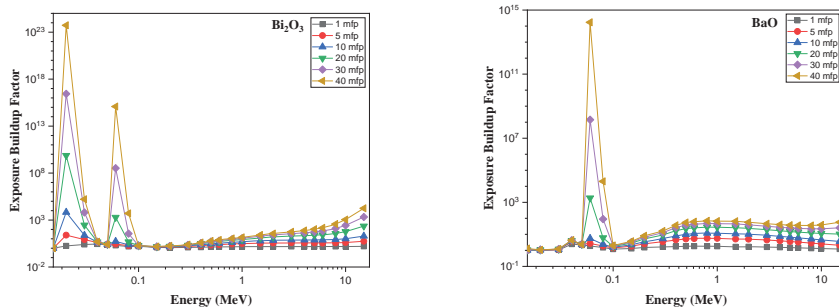
ในรูปภาพที่ 3 แสดงการเปรียบค่า equivalent atomic number ( $Z_{eq}$ ) ของแก้วชิลิเกตที่เจือด้วยบิสมัทออกไซด์ แบบเรียมออกไซด์และตะกั่วออกไซด์ ซึ่งพบว่า ในช่วงพลังงาน 0.1 ถึง 2 เมกะอิเล็กตรอนโวลต์ ค่า  $Z_{eq}$  ของแก้วที่เติมด้วยบิสมัทออกไซด์และตะกั่วออกไซด์มีค่าสูง และสำหรับแก้วที่เติมด้วยแบบเรียมออกไซด์พบว่ามีค่าสูงในช่วงพลังงาน 0.04 ถึง 2 เมกะอิเล็กตรอนโวลต์ เนื่องมาจากเกิดอันตรกิริยาการระเจิงแบบคอมป์ตันสูงในช่วงพลังงานนี้ (Y.S. Rammah et al., 2013) และเมื่อนำมาเปรียบเทียบกันพบว่าค่า  $Z_{eq}$  ของแก้วที่เติมด้วยบิสมัทออกไซด์มีค่าสูงที่สุด เนื่องมาจากการเกิดอันตรกิริยาของแก้วที่เติมบิสมัทออกไซด์มีค่าสูงที่สุดสอดคล้องกับผลของค่าสัมประสิทธิ์การลดthonเชิงมวล



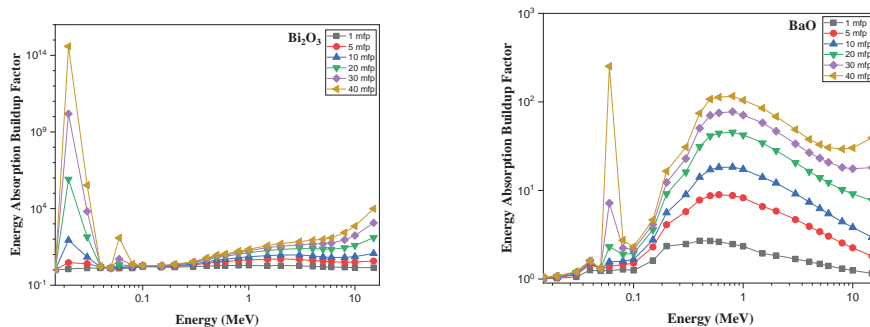
รูปภาพที่ 3 ค่า equivalent atomic number ของแก้วชิลิเกตที่เจือด้วยบิสมัทออกไซด์ แบบเรียมออกไซด์และตะกั่วออกไซด์

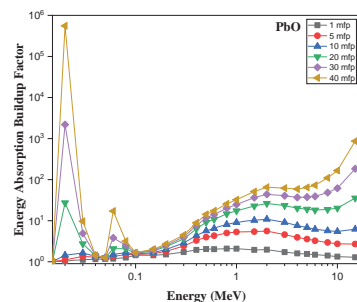
ในรูปที่ 4 และ 5 แสดงค่า exposure buildup factors (EBF) และ energy absorption buildup factor (EABF) ของแก้วชิลิเกตที่เจือด้วยบิสมัทออกไซด์ แบบเรียมออกไซด์และตะกั่วออกไซด์ พบร้า ในช่วงพลังงาน 0.15 ถึง 1 เมกะอิเล็กตรอนโวลต์ ค่า EBF และ EABF ของแก้วทั้ง 3 ชนิดมีค่าน้อย ผลเนื่องมาจากการเกิดอันตรกิริยาแบบโฟโตอิเล็กทริก (photoelectric effect) ซึ่งเป็นอันตรกิริยาหลัก เช่นเดียวกับในช่วงพลังงานมากกว่า 2 เมกะอิเล็กตรอนโวลต์ พบร้าค่า EBF และ EABF ของแก้วชนิดมีค่า

น้อยเช่นกัน ซึ่งเป็นช่วงพลังงานที่อันตรกิริยาแพร์เพรตักขัน (pair production) เป็นอันตรกิริยาหลัก โดยสาเหตุที่ส่งผลให้ค่า EBF และ EABF มีค่าน้อยลงนั้น เป็นผลมาจากการดูดกลืนรังสีได้อย่างสมบูรณ์ สำหรับในช่วงพลังงาน 0.1 ถึง 2 เมกะอิเล็กตรอนโวลต์ ค่า EBF และ EABF ของแก้วจะมีแนวโน้มสูงมากขึ้นเนื่องจากมีการเกิดอันตรกิริยาระเจิงแบบคอมปัตัน (Compton scattering) สูงในช่วงพลังงานนี้ ซึ่งทำให้เกิดการกระจายตัวของโฟตอนส่งผลให้มีการดูดซึมโฟตอนที่ไม่สมบูรณ์แต่ก็ยังช่วยลดความเข้มของโฟตอน ส่งผลให้ค่า EBF และ EABF มีค่าสูงตามไปด้วย และในช่วงพลังงาน 0.08 เมกะอิเล็กตรอนโวลต์ จะเห็นว่า แนวโน้มของค่า EBF และ EABF มีค่าสูงมาก ซึ่งพบว่าเกิดจากขอบเขตการดูดกลืนรังสีเอกซ์ซึ่งสอดคล้องกับขอบเขตการดูดกลืนรังสีเอกซ์ของอิเล็กตรอนในชั้น K ของธาตุบิスマัท แบเรียมและตะกั่ว ตามลำดับ (M.I. Sayyed *et al.*, 2017)



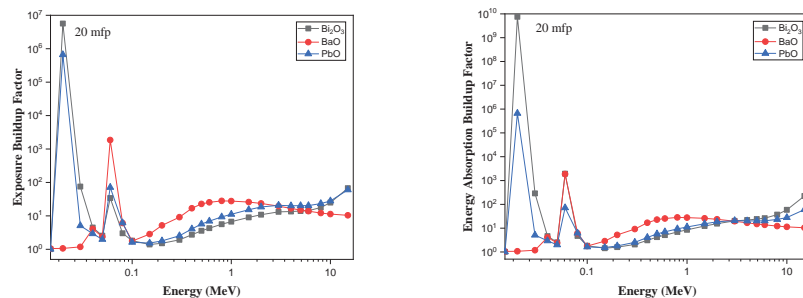
รูปภาพที่ 4 ค่า exposure buildup factors ของแก้วซิลิกेटที่เจือด้วยบิスマัทออกไซด์ แบเรียมออกไซด์และตะกั่วออกไซด์ ในช่วง 1-40 mfp





รูปภาพที่ 5 energy absorption buildup factor ของแก้วซิลิกेटที่เจือด้วยบิสมัทออกไซด์ แบบเรียมออกไซด์และตะกั่วออกไซด์ ในช่วง 1-40 mfp

ในรูปที่ 6 แสดงการเปรียบเทียบค่า EBF และ EABF ของแก้วซิลิกेटที่เจือด้วยบิสมัทออกไซด์ แบบเรียมออกไซด์และตะกั่วออกไซด์ พบร้าค่าหั้ง 2 ค่า มีค่าลดลงเมื่อพลังงานเพิ่มสูงขึ้น เนื่องจากผลของการกระเจิงของรังสี ซึ่งสอดคล้องกับผลของการกระเจิงแบบคอมป์ตันซึ่งเป็นอันตรกิริยาหลัก และจากการสังเกตแนวโน้มของการเกิดอันตรกิริยาซึ่งส่งผลถึงความสามารถในการกำบังรังสีของแก้วหั้ง 3 ชนิด พบร้าแก้วซิลิกे�ตที่เจือด้วยบิสมัทออกไซด์มีค่ามากที่สุด รองลงมาคือตะกั่วออกไซด์ ตามลำดับ



รูปภาพที่ 6 เปรียบเทียบค่า EBF และ EABF ของแก้วซิลิกेटที่เจือด้วยบิสมัทออกไซด์ แบบเรียมออกไซด์และตะกั่วออกไซด์ ในช่วง 20 mfp

#### 4. สรุปผลการวิจัย

จากการศึกษาพารามิเตอร์ทางรังสีในระบบแก้วซิลิกे�ตเจือด้วยบิสมัทออกไซด์ แบบเรียมออกไซด์และตะกั่วออกไซด์ โดยการคำนวนจากโปรแกรม Phy-X ระหว่างช่วงพลังงาน 0.015 ถึง 15 เมกะอิเล็กตรอนโวลต์ ผลจากการศึกษาค่าสัมประสิทธิ์การลดthonเชิงมวลพของแก้วหั้ง 3 ชนิด พบร้า แก้วซิลิกे�ตเจือด้วยบิสมัทออกไซด์มีค่ามากที่สุด รองลงมาคือตะกั่วออกไซด์ และบิสมัทออกไซด์ ตามลำดับ ในส่วนของค่า buildup factors ค่า EBF และ EABF ของแก้วหั้ง 3 ชนิดมีค่าต่ำ ในช่วงพลังงาน 0.15 ถึง 1 เมกะอิเล็กตรอนโวลต์ เช่นเดียวกับในช่วงพลังงานมากกว่า 2 เมกะอิเล็กตรอนโวลต์ พบร้า ค่า EBF และ EABF ของแก้วชนิดมีค่าต่ำเช่นกัน ซึ่งเป็นช่วงพลังงานที่อันตรกิริยาแบบโฟโตอิเล็กทริก (photoelectric effect) และแพร็ฟโปรดักชัน (pair production) เป็นอันตรกิริยาหลัก ตามลำดับ ในขณะที่ช่วงพลังงาน 0.1 ถึง 2 เมกะอิเล็กตรอนโวลต์ ค่า EBF และ EABF ของแก้วจะมีแนวโน้มสูงมากขึ้นเนื่องจากมีการเกิดอันตรกิริยาการกระเจิงแบบคอมป์ตัน (Compton scattering) สูงในช่วงพลังงานนี้ และในช่วงพลังงาน 0.08 เมกะอิเล็กตรอนโวลต์ จะเห็นว่าแนวโน้มของค่า EBF และ EABF มีค่าสูงมาก ซึ่งพบร้าเกิดจากขอบเขตของค่าต่ำที่สุด ซึ่งสอดคล้องกับขอบเขตของค่าต่ำที่สุดที่ได้รับการคำนวน

เปรียบเทียบค่า EBF และ EABF ของแก้วของแก้วทั้ง 3 ชนิด พบว่าอัตราการเกิดอันตรกิริยาของแก้วชิลิกेटที่เจือด้วยบิสมัท ออกไซเดท์พบว่ามีค่ามากที่สุด รองลงมาคือตะกั่วออกไซเดท์ ตามลำดับ ดังนั้นจากการศึกษาพารามิเตอร์ทางรังสีต่างๆ จึงสามารถสรุปได้ว่า แก้วชิลิกेटที่เจือด้วยบิสมัทออกไซเดท์มีความสามารถในการกำบังรังสีได้ดีที่สุดรองลงมาคือ แบบเรียมออกไซเดท์และตะกั่วออกไซเดท์ตามลำดับ

## 5. กิตติกรรมประกาศ

ผู้วิจัยขอขอบคุณ ศูนย์วิจัยแห่งความเป็นเลิศทางเทคโนโลยีแก้วและวัสดุศาสตร์ มหาวิทยาลัยนครปฐม และ งานวิจัยนี้ได้รับการสนับสนุนจากสำนักงานคณะกรรมการวิจัยแห่งชาติ (วช.) ภายใต้โครงการพัฒนานักวิจัยและงานวิจัยเพื่ออุตสาหกรรม (พวอ.) ระดับปริญญาเอก (NRCT5-RRI63015-P19)

## 6. เอกสารอ้างอิง

- Erdem Şakar, Özgür Fırat Özpolat, Bünyamin Alım, M.I. Sayyed, Murat Kurudirek. (2020). **Phy-X / PSD: Development of a user friendly online software for calculation of parameters relevant to radiation shielding and dosimetry.** Radiation Physics and Chemistry Volume 166, 108496
- Esra Kavaz, Nergiz Yıldız Yorgun. (2018). **Gamma ray buildup factors of lithium borate glasses doped with minerals.** Journal of Alloys and Compounds. Journal of Alloys and Compounds 752, 61-67
- Kirdsiri, K., Kaewkhao, J. & Limsuwan, P. (2012). **Photon interaction in borate glass doped with Bi<sub>2</sub>O<sub>3</sub> at different energies.** Procedia Engineering, 32, 727-733.
- Limkitjaroenporn P., Kaewkhao J., Chewpraditkul W., & Limsuwan, P. (2012). **Mass attenuation coefficient and effective atomic number of Ag/Cu/Zn alloy at different photon energy by compton scattering technique.** Procedia Engineering. 32, 847-854
- M.I.Sayyed, H.Elhouichet. (2017). **Variation of energy absorption and exposure buildup factors with incident photon energy and penetration depth for boro-tellurite (B<sub>2</sub>O<sub>3</sub>-TeO<sub>2</sub>) glasses.** Radiation Physics and Chemistry. Volume 130, Pages 335-342
- N. Chanthima, J. Kaewkhao. (2013). **Investigation on radiation shielding parameters of bismuth borosilicate glass from 1 keV to 100 GeV.** Annals of Nuclear Energy, volume 55, Pages 23-28
- N. Singh, K. Singh, and H. Singh. (2006). **Gamma-ray attenuation studies of PbO-BaO-B<sub>2</sub>O<sub>3</sub> glass system.** Rad. Meas. Vol. 41. pp. 84-88.
- Y. Al-Hadeethi, M.I. Sayyed. 2020. **A comprehensive study on the effect of TeO<sub>2</sub> on the radiation shielding properties of TeO<sub>2</sub>-B<sub>2</sub>O<sub>3</sub>-Bi<sub>2</sub>O<sub>3</sub>-LiF-SrCl<sub>2</sub> glass system using Phy-X / PSD software.** Ceramics International Volume 46, Issue 5, Pages 6136-6140
- Y.S. Rammah, K.A. Mahmoud, M.I. Sayyed, F.I. El-Agawany, R.El-Mallawany. (2020). **Novel vanadyl lead phosphate glasses: P<sub>2</sub>O<sub>5</sub>-PbO-ZnO single bond Na<sub>2</sub>O-V<sub>2</sub>O<sub>5</sub>: Synthesis, optical, physical and gamma photon attenuation properties,”** Journal of Non-Crystalline Solids, volume 534, 119944